

宇宙の階層

大きな構造から小さな構造へ

東京大学大学院
理学系研究科
須藤靖

$20h^{-1}\text{Mpc}$

$5h^{-1}\text{Mpc}$

$75h^{-1}\text{Mpc}$

SPH simulation in ΛCDM
(Yoshikawa et al. 2001)

New direction of particle physics
--from theoretical, experimental and
astrophysical aspects--- (TEA03)

2003年10月15日 ~ 17日

@京都大学基礎物理学研究所

Expanding the *expanding* universe (膨張宇宙研究の展開)

0th order	一様等方宇宙モデル	宇宙論パラメータ
1st order	密度揺らぎの線形摂動論	宇宙の大構造 マイクロ波背景輻射
2nd order	非線型重力進化	ダークマターの構造形成
3rd order	バリオンガスの進化	第一世代天体と元素の起源
4th order	銀河、星、惑星の形成進化	光り輝く銀河宇宙の誕生
...		
L-th order	生命の起源・進化	宇宙論的生物発生学
M-th order	知的生命体への進化	宇宙論的生物進化学
N-th order	文化・文明・宗教	宇宙論的社会学
...		

宇宙論的宇宙論の究極

WMAP



21世紀の宇宙論： 値から理解へ

WMAP 1st year 成果の要約

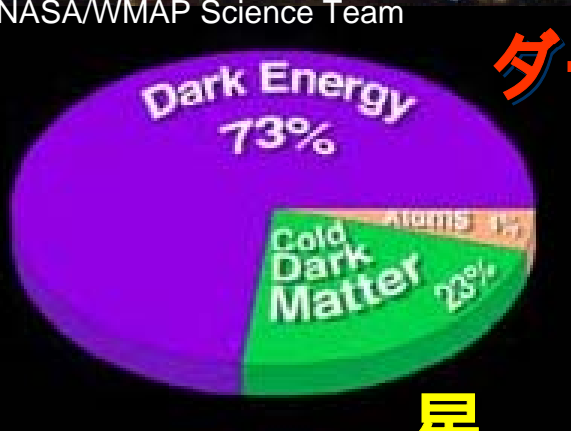
- 容器としての宇宙モデルを確定
- 宇宙の再電離時期
- ほとんどすべてのデータが、驚くべき精度で「インフレーション+宇宙定数入りの冷たい暗黒物質モデル」の理論予言とぴたりと一致
- The most revolutionary result out of WMAP is that there is no revolutionary results. (J. Bahcall)



現在の宇宙の組成

<http://lambda.gsfc.nasa.gov>

NASA WMAP Science Team



星

ダークエネルギー

(宇宙定数)

0.73 ± 0.04

全物質 0.27 ± 0.04

バリオン

0.005 ± 0.002

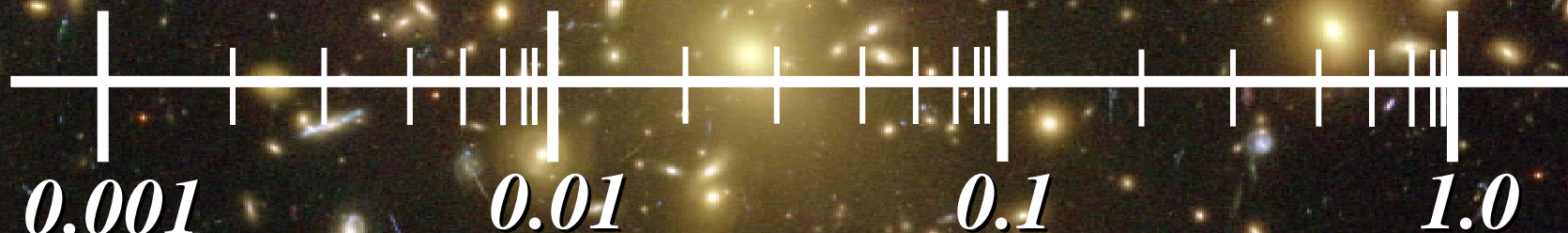
0.044 ± 0.004

0.23 ± 0.04

CDM

インフレーション

総量 = 1.02 ± 0.02



宇宙の全質量に占める割合

冷たいダークマターモデル予言と宇宙の構造

■ $L > 10\text{Mpc}$: 驚くべき一致

- 37万年時点での「初期条件」から出発したCDMモデルによって138億年後の現在の宇宙の銀河分布が「理論」だけで正確に予言できる
- これは決して自明ではなく、驚異的。大スケールの宇宙はかなり決定論的、必然的な進化を遂げてきたことを示す。
- 例えば、生物の発現、知的生命体への進化などは、必ずしも必然だけで説明できるわけではなく、何らかの偶然的要素が本質的であったと考える人が多い

■ $1\text{Mpc} < L < 10\text{Mpc}$: ある程度経験的には理解されている

- 銀河団の誕生・質量関数
- 線形バイアスを仮定した銀河分布

■ $L < 1\text{Mpc}$: まだ満足すべき理解には程遠い

- 星形成・銀河形成・光度関数・ハッブル系列(形態)の起源
- 宇宙で最初に誕生した天体はどのようなものか
- 矮小銀河の存在 (CDMに対する警鐘としてPeeblesが病的に指摘)
- 銀河・銀河団の密度プロファイル: 中心部はカスプ $r^{-1.5}$ を持つか、あるいはコア 一定 になっているか?

大きな構造から小さな構造へ

～ CDM モデルで残された天文学的問題 ～

- 天体の形成とそれによるフィードバック
 - 重力的天体形成から星形成へ
 - 宇宙の第一世代天体と宇宙の再電離
 - 星形成・星進化・超新星爆発によるエネルギーフィードバックによる次世代天体形成の促進・抑制
 - 銀河団のX線光度温度関係(1keV/particle)と非重力加熱
- 銀河分布とダークマター分布の関係
 - 銀河分布の「バイアス」から銀河形成モデルを推測する
- ダークマターハローの密度プロファイル
 - 天体の中心部分の密度は発散しているか(カスプ)、それとも一定か(コア)？
- ダークバリオンは何処に
 - 軟X線領域の精密分光専用衛星DIOS (Diffuse Intergalactic Oxygen Surveyor)による酸素輝線を用いたダークバリオン探査

Part 1:

スローンデジタルスカイサー
ベイによる宇宙銀河地図の作
成と銀河のバイアスの定量化

SDSS観測@アパッチポイント天文台

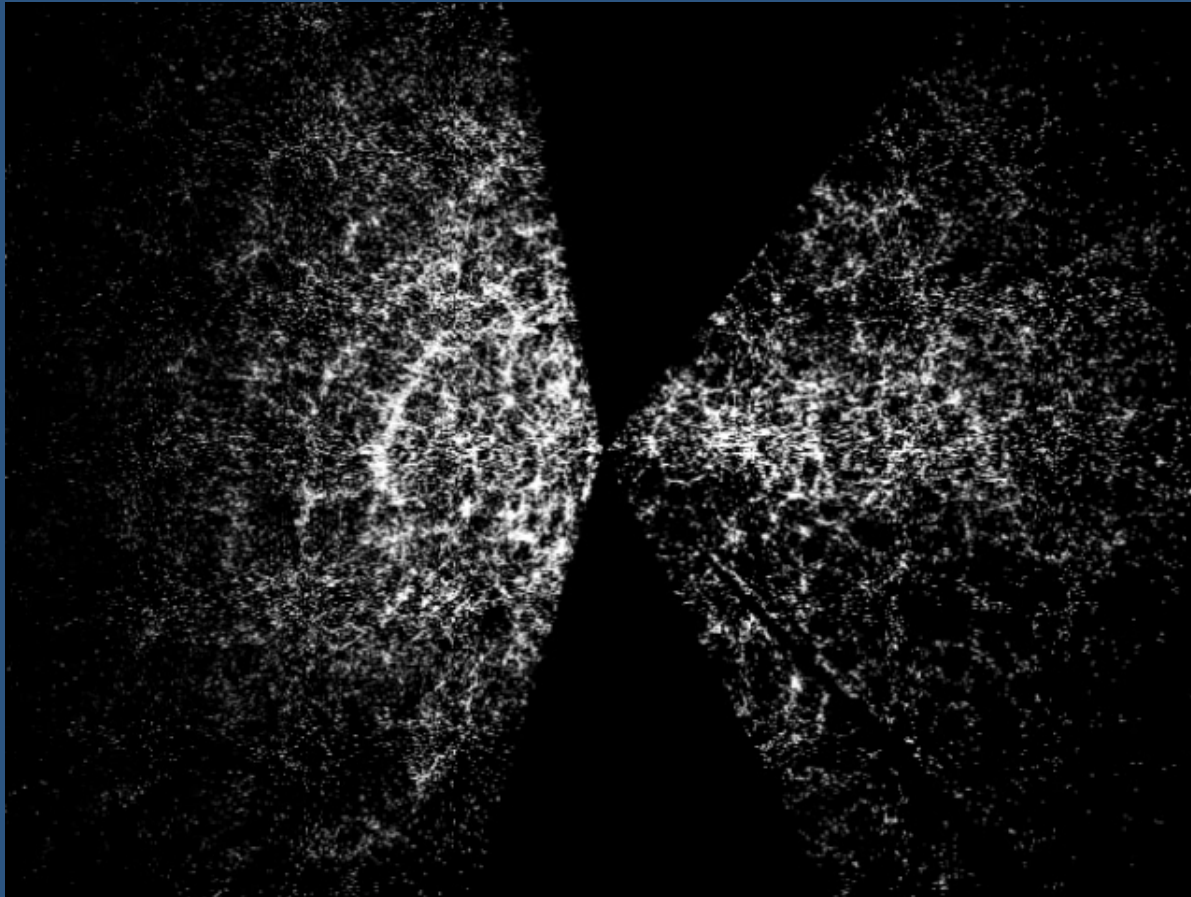


NHK教育 サイエンスZERO 2003年6月11日 0:00 放映

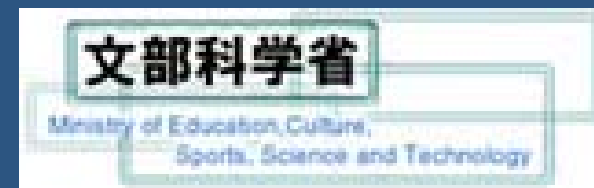


史上最大の銀河地図作りをめざして： 日米独共同スローンデジタルスカイサーベイ

8千万個の銀河を観測、そのなかの80万個の銀河の3次元地図作り

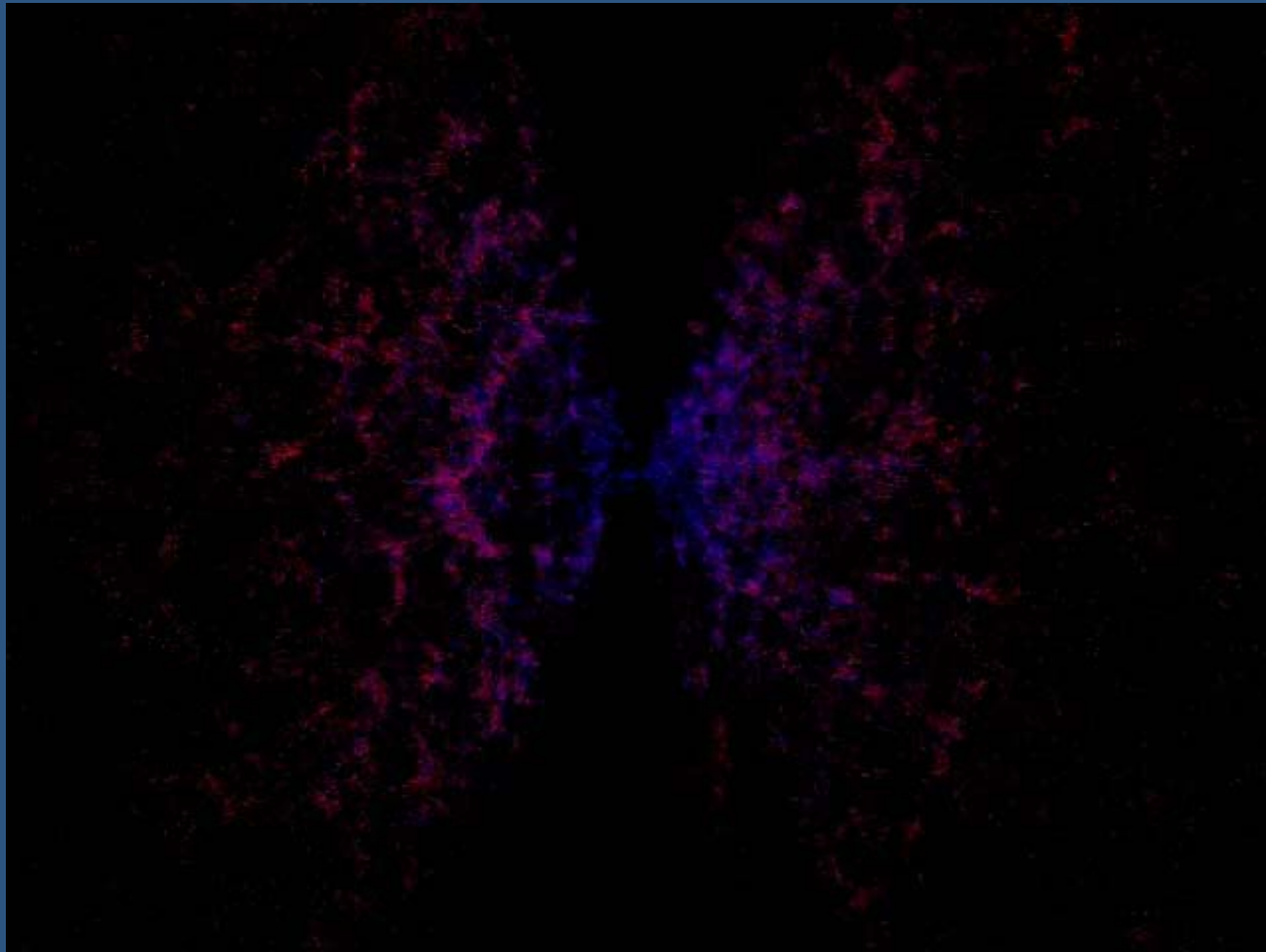


<http://www.sdss.org/dr1/>



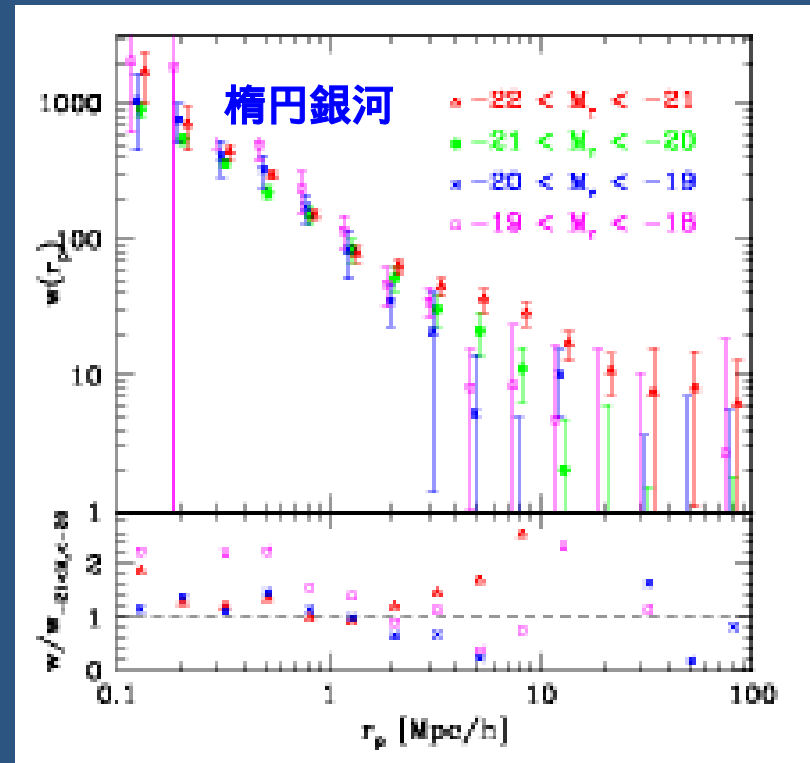
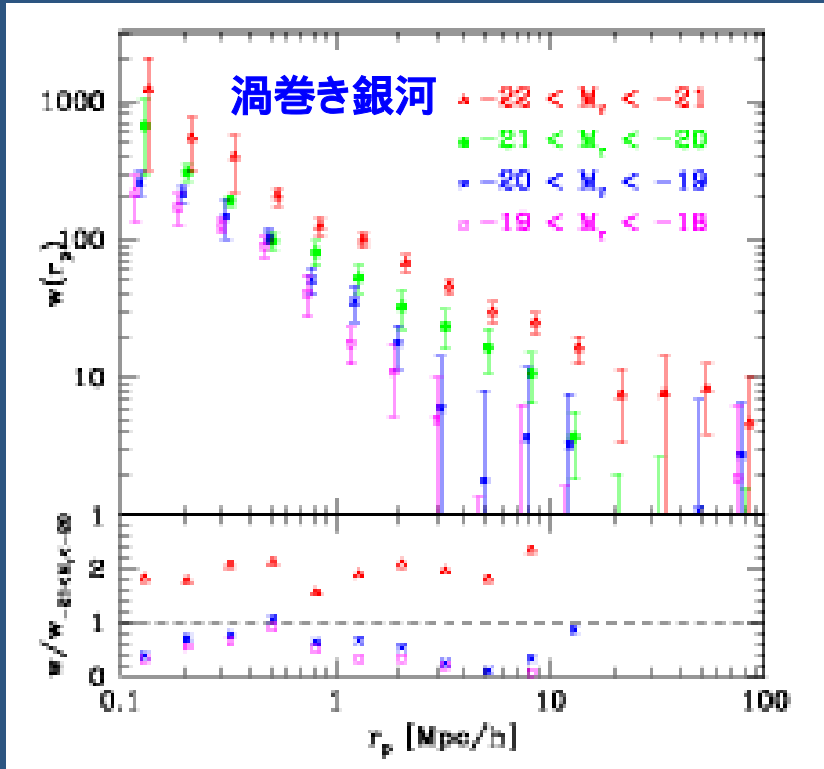
NHK教育 サイエンスZERO 2003年6月11日 0:00 放映

SDSS DR1 galaxies: morphology dependent clustering



NHK教育 サイエンスZERO 2003年6月11日 0:00 放映

SDSS銀河2点相関関数の形態・光度依存性



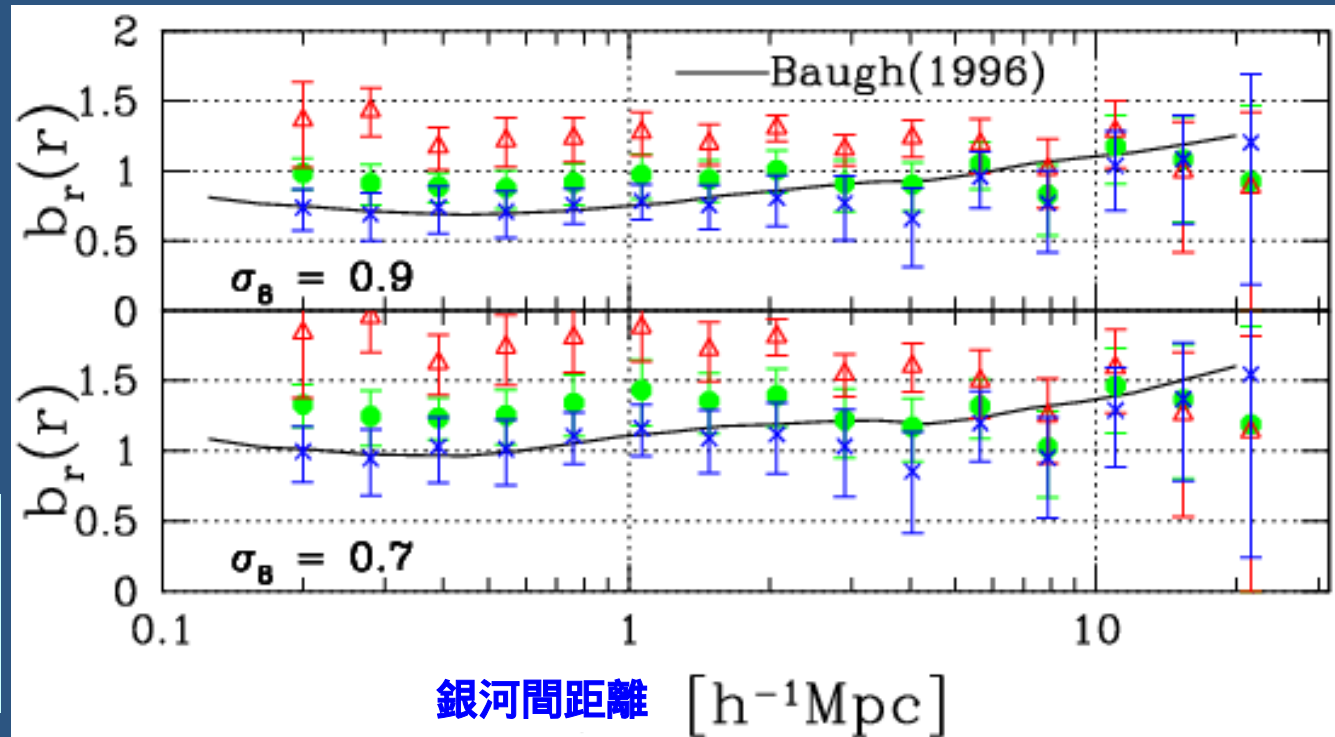
- early-types are more strongly biased than late-types
- for late-types, luminous galaxies show stronger clustering
- for early-types, the clustering amplitudes are fairly independent of the absolute luminosities of galaxies

Kayo et al. (2003)

SDSS銀河バイアスの形態依存性

early-type
total
late-type

$$b \equiv \sqrt{\frac{\xi(\text{galaxies})}{\xi(\Lambda\text{CDM})}}$$



- Galaxy bias is fairly scale-independent
- Clear morphology dependence: $b=1.2 \sim 1.5$ for “early”-types and $b=0.7 \sim 0.9$ for “late”-types** with respect to Λ CDM with $\sigma_8=0.9$ (computed semi-analytically using the light-cone average described before)

Kayo, Suto, Fukugita, Nakamura, et al. (2003)

宇宙構造進化シミュレーションの例



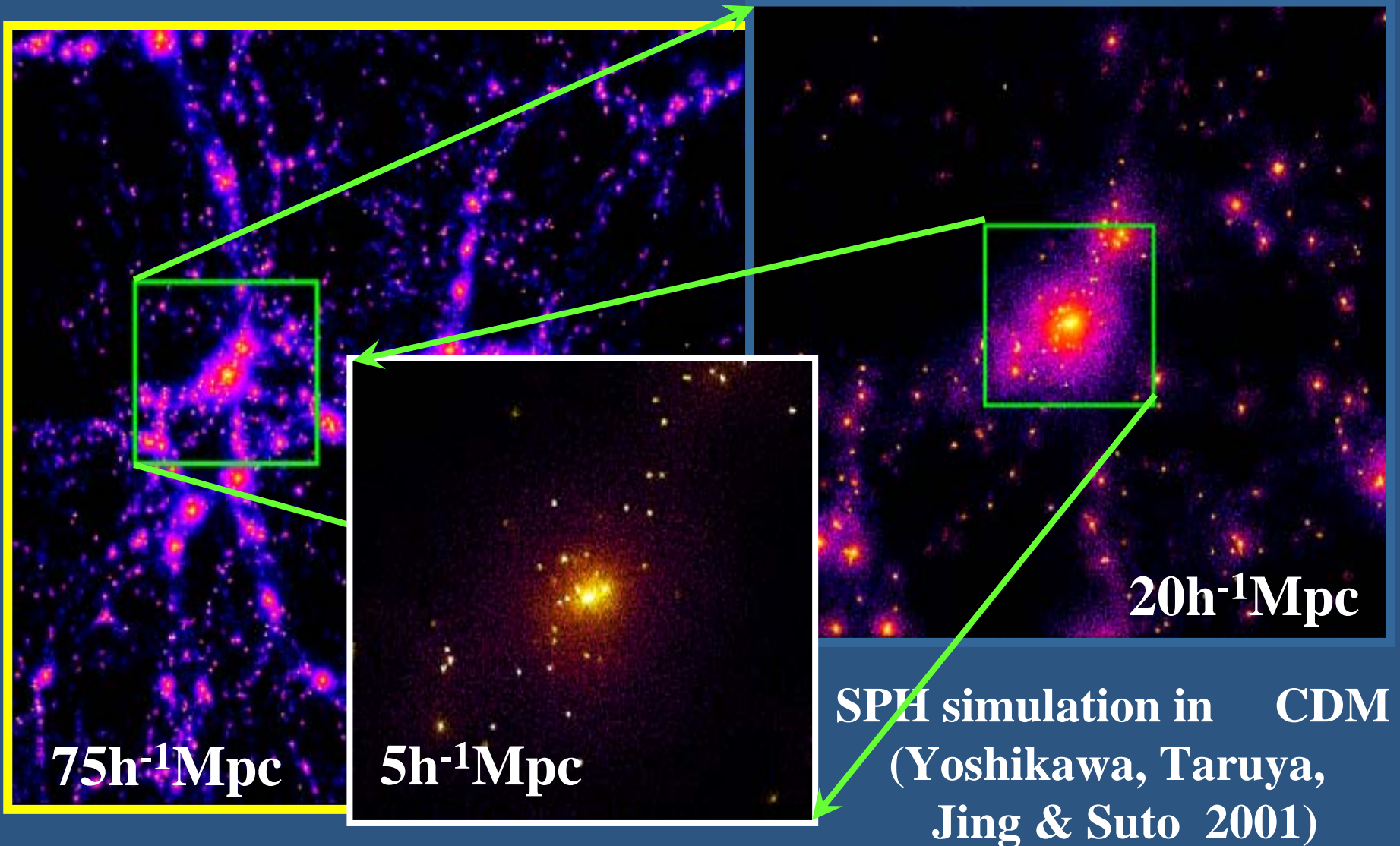
吉川 耕司、
樽家 篤史、
景 益鵬、
須藤 靖
(2001)

ダークマター分布の進化

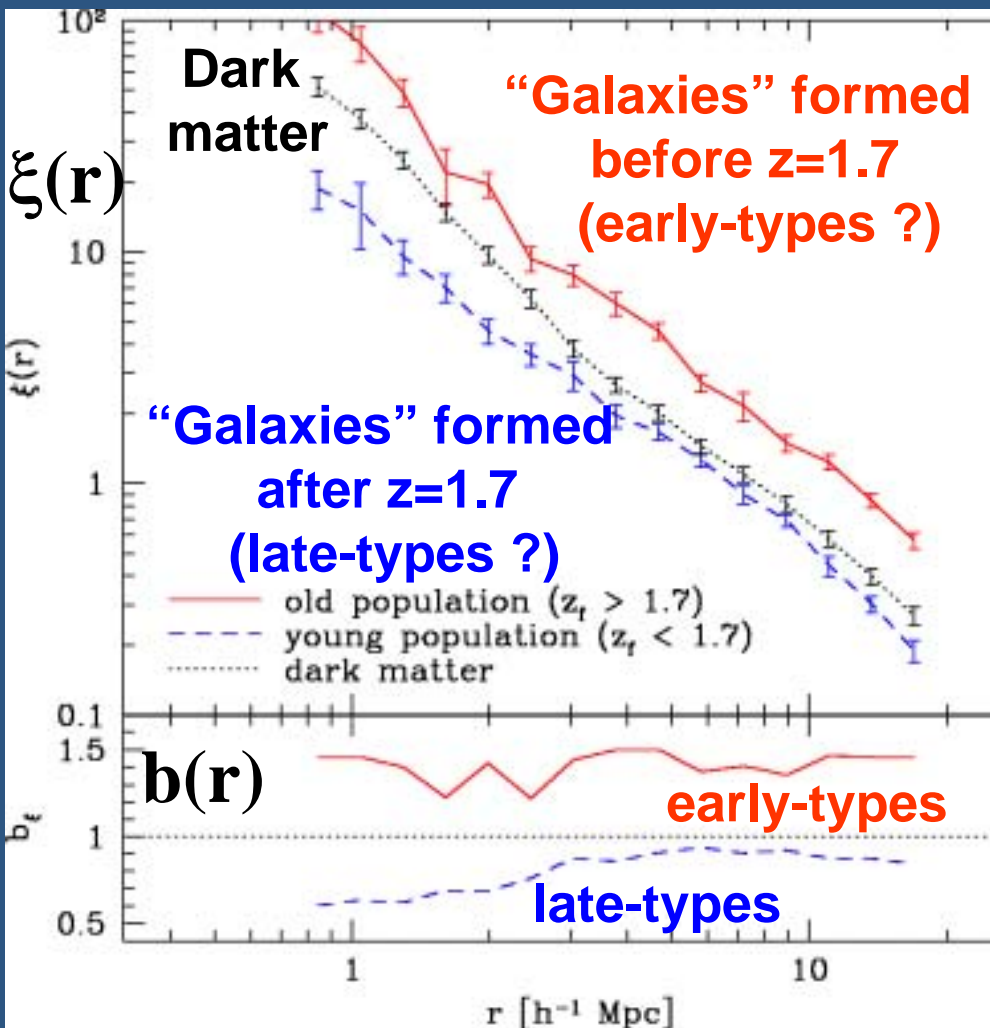
X線で見える現在の高温ガス分布

可視光で見える現在の宇宙の銀河分布

SPH simulation: zoom-up



Galaxy morphology and formation epoch: indication from SPH simulations



- Simulated “galaxies” formed earlier are more strongly biased
- Recently formed galaxies preferentially avoid high-density regions
- Quite consistent with the SDSS DR1, but still very primitive
- need to elaborate the model further !

Yoshikawa, Taruya, Jing & Suto (2001)

Part 2:

銀河・銀河団の中心密度プロ ファイルとダークマターの性質

Why density profiles of dark halos ?

- Theoretical interest: *what is the final state of the cosmological self-gravitating system ?*
 - forget cosmological initial conditions?
 - keep initial memory somehow?
- Practical importance: *testing cosmology and/or nature of dark matter*
 - galactic rotation curve, gravitational lensing
 - X-ray/SZ observations of clusters
 - modeling the dark matter clustering

NFW universal density profile

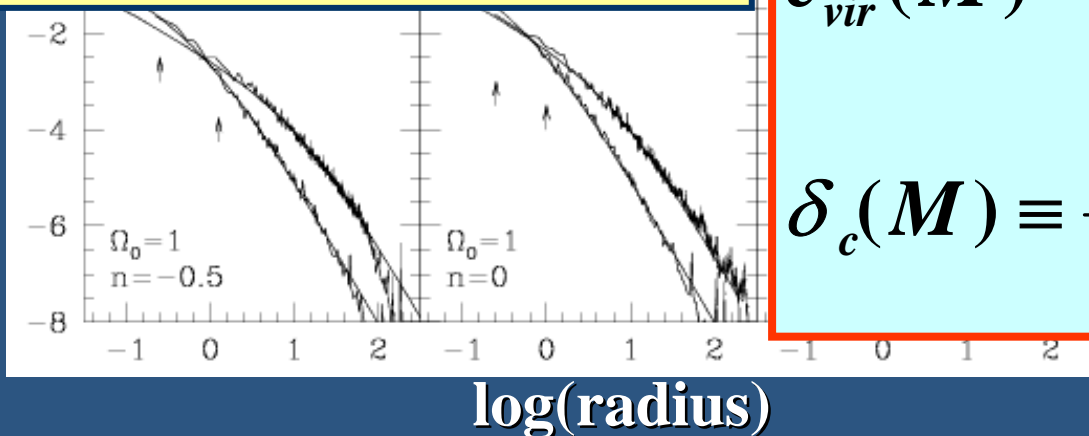
- Amazingly shape of halo density profiles is insensitive to cosmological initial conditions!

Navarro, Frenk & White (1997)

$$\rho(r) = \frac{\delta_c \rho_{crit}}{(r/r_s)(1+r/r_s)^2}$$

$$c_{vir}(M) \equiv \frac{r_{vir}(M)}{r_s(M)} \quad \text{concentration parameter}$$

$$\delta_c(M) \equiv \frac{\Delta_{vir} \Omega_0 c^3}{3[\ln(1+c) - c/(1+c)]}$$



Summary of simulation and theory

■ Simulations

- Density profiles of dark halos are fairly universal (at least approximately), and are insensitive to the cosmological initial conditions except $r_s(M, z)$
- Cusp rather than core in the central region

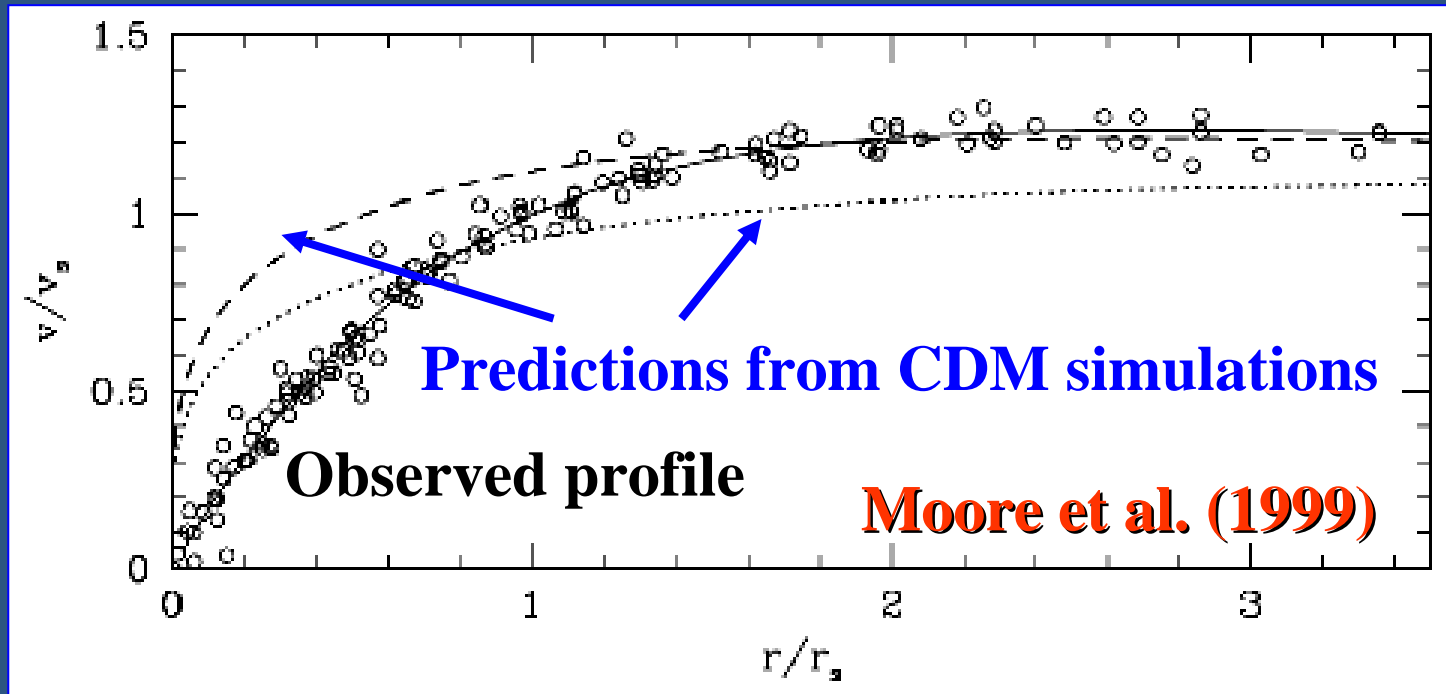
$$\rho(r) = \frac{\delta_c \rho_{crit}}{(r/r_s)^\alpha (1+r/r_s)^{3-\alpha}} \quad \alpha \approx 1.5$$

■ “Theoretical” models

- Either core or cusp is acceptable.
- Inner slope is generally expected to depend on the primordial spectrum of fluctuations.

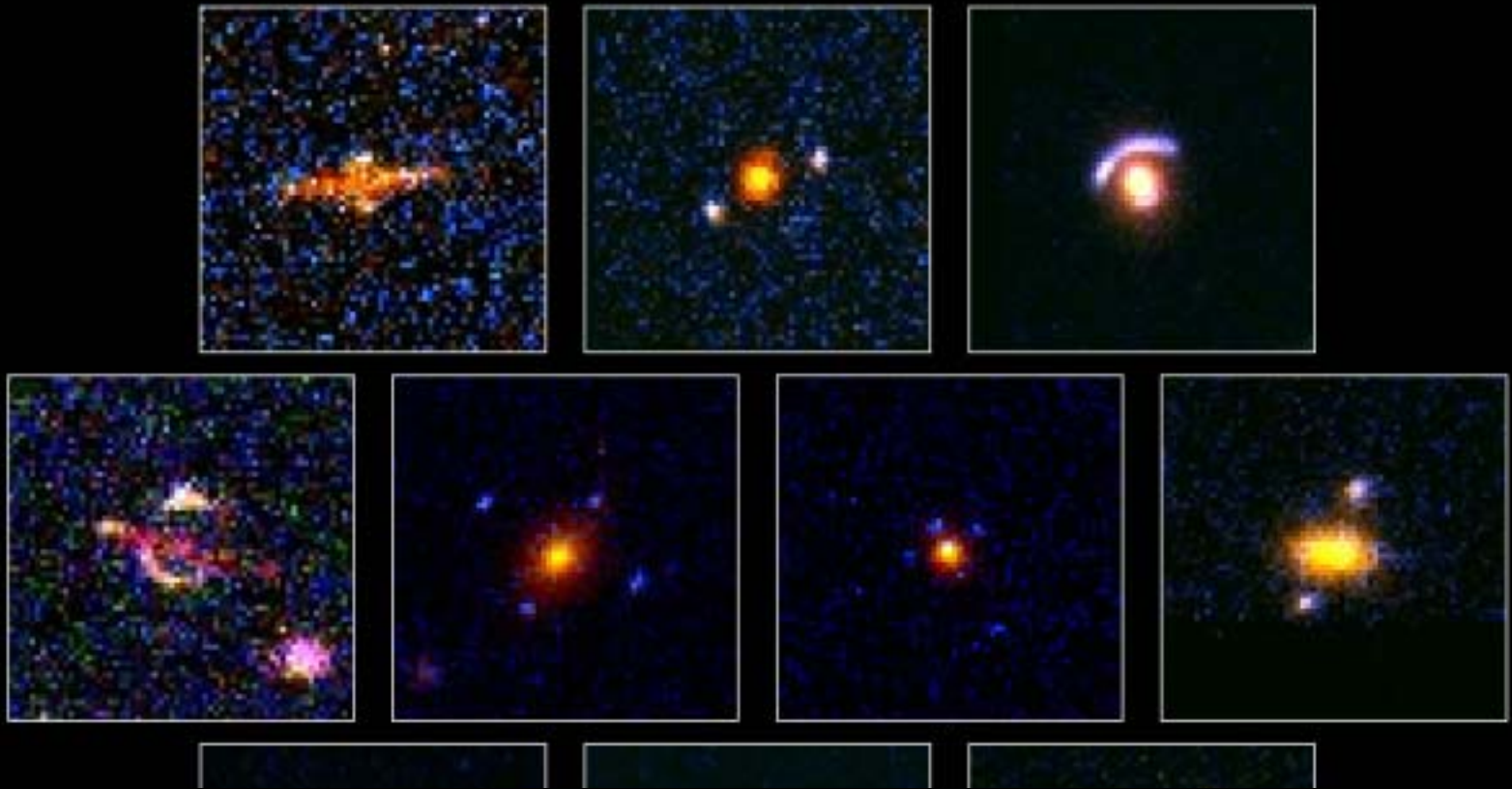
needs observational confrontation

銀河の回転曲線は中心コアを示唆



- dwarf spirals to giant low surface brightness galaxies indicate the central cores rather than cusps !
inconsistent with CDM simulations (?)

(Moore et al. 1999; de Blok et al. 2000; Salucci & Burkert 2000)



- 光線は重力場によって曲げられる
 - 天体が多重像をつくる(強い重力レンズ)
 - 天体の形状が変形を受ける(弱い重力レンズ)
 - 天体の見かけの明るさが増光する(マイクロレンズ)

Hubble Space Telescope - WHT 02

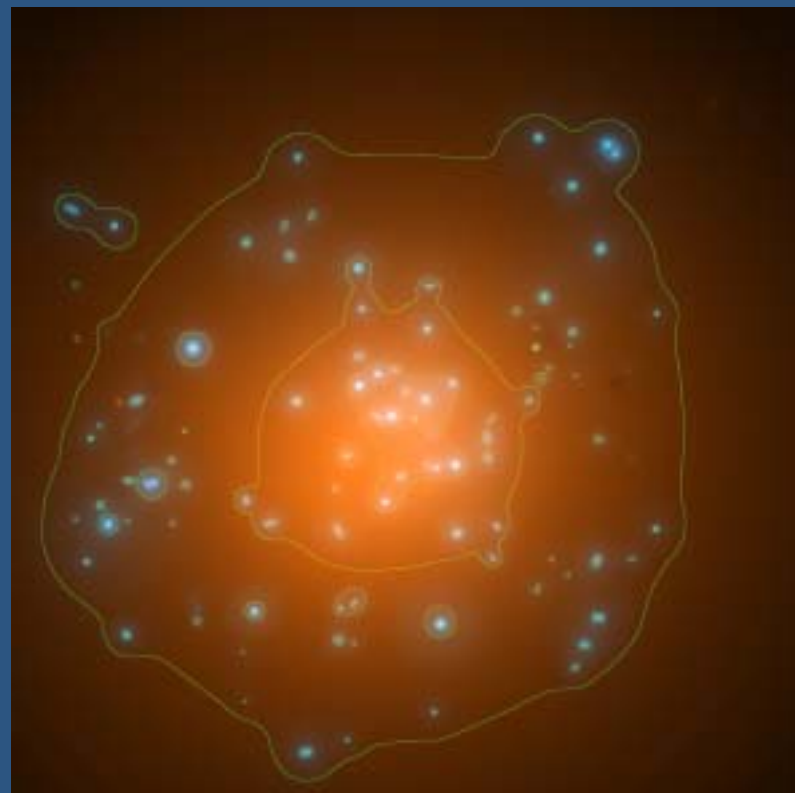
銀河団CL0024+1654の重力レンズ

HST image



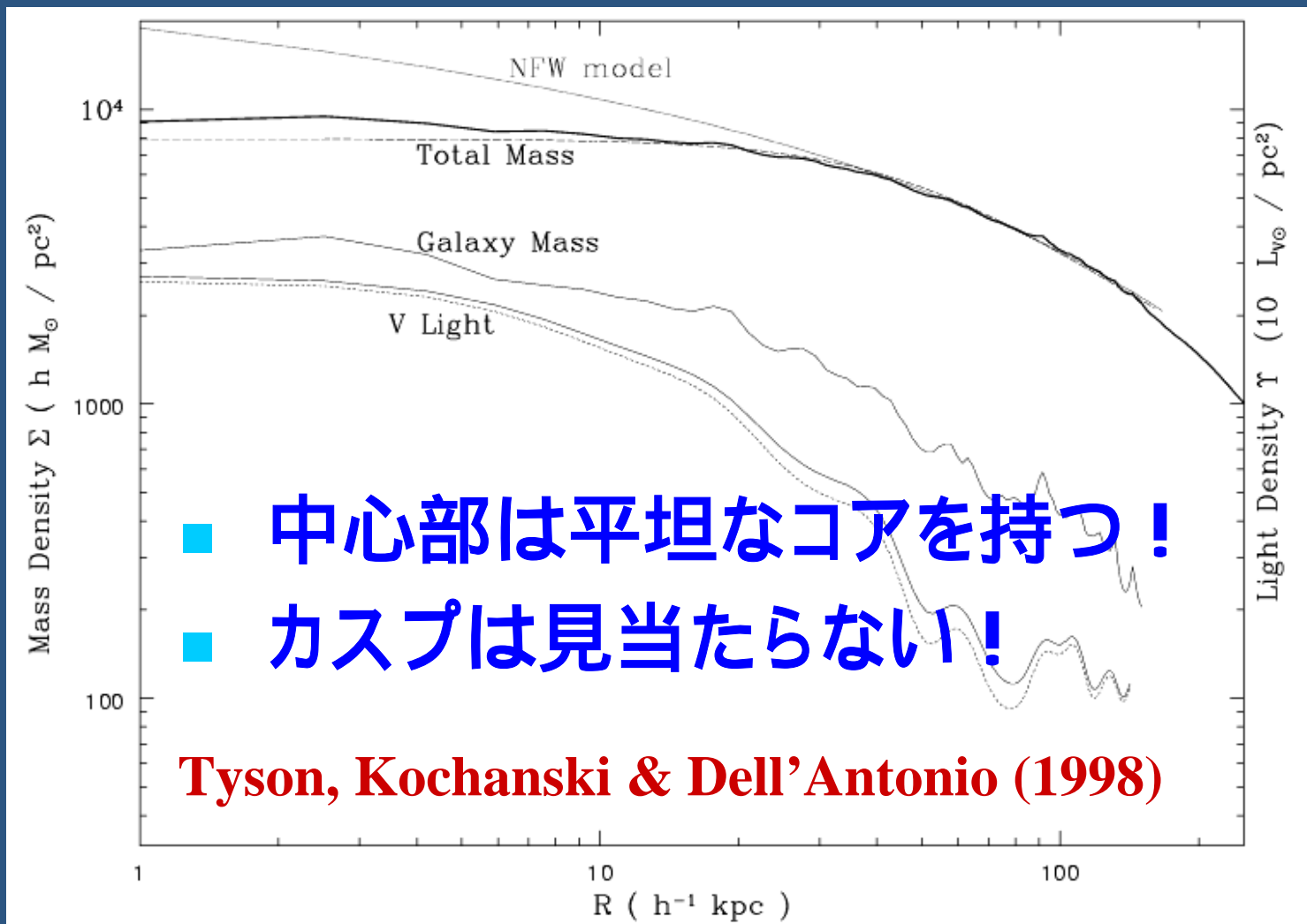
$Z=0.39$, $L_x=5 \times 10^{43} \text{ h}^{-2} \text{ erg/s}$

reconstructed mass distribution
(with 512 parameters)

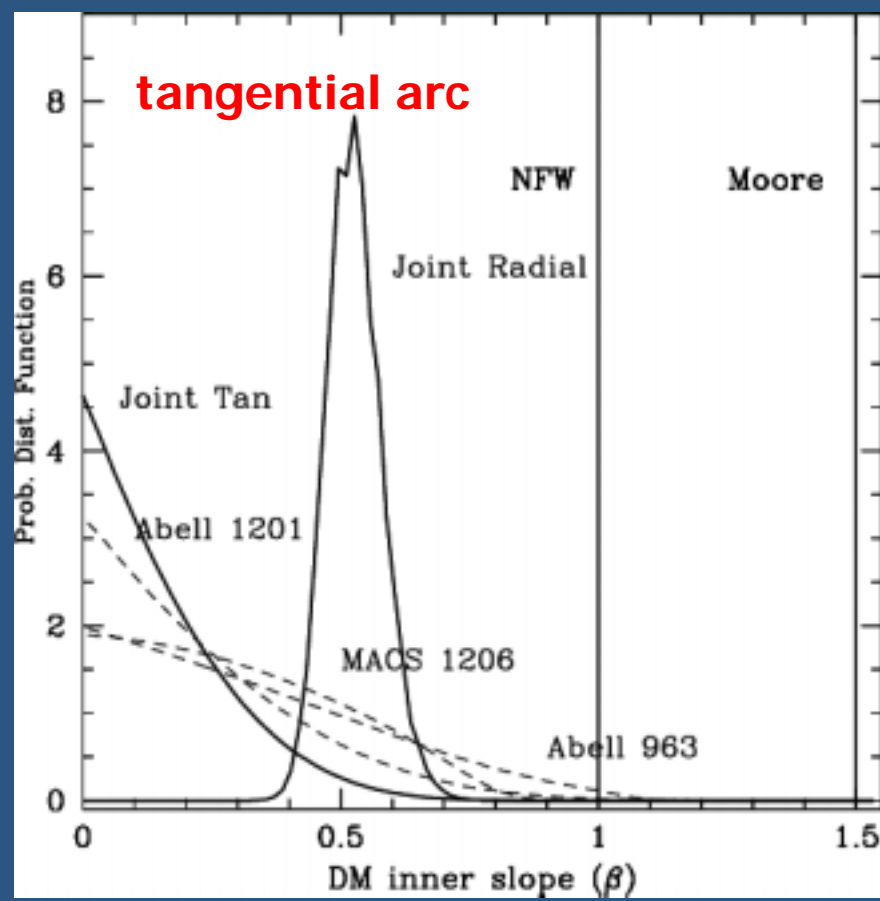
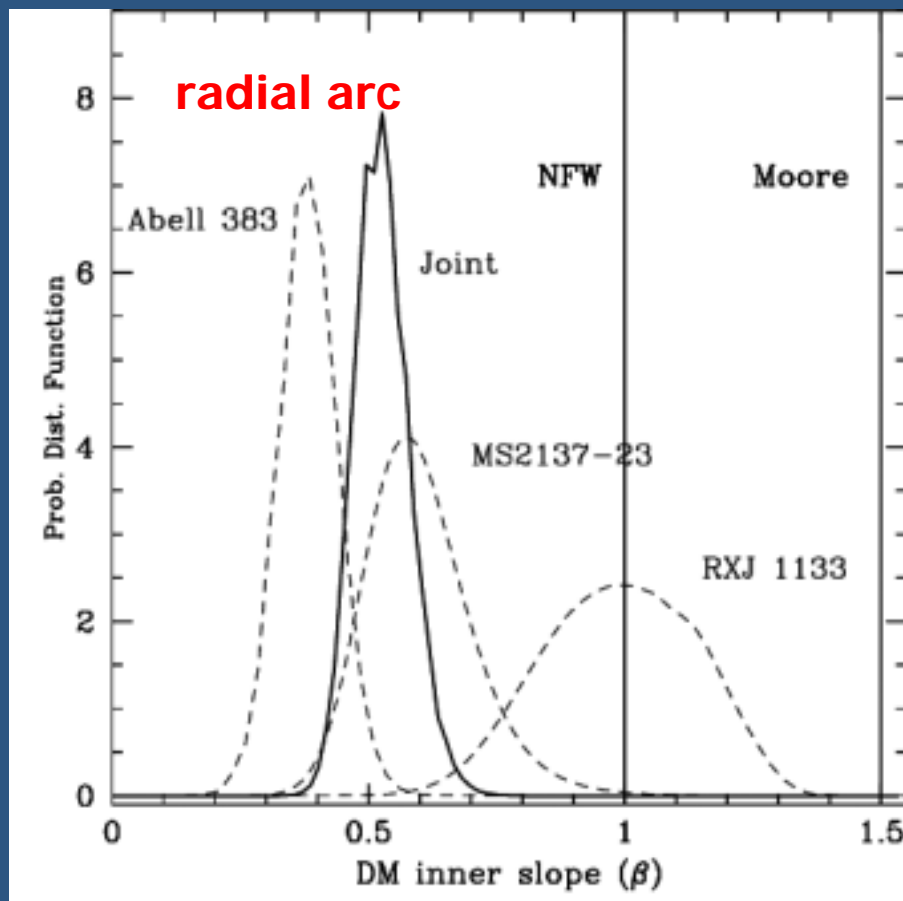


Tyson, Kochanski & Dell'Antonio (1998)

重力レンズデータから再構築された CL0024+1654の密度分布



Inner profiles of clusters from lensing analysis



Sand, Treu, Smith & Ellis (2003)

Self-interacting dark matter ?

■ *Collisionless dark matter*

- reproduces nicely the observed large-scale structure of the universe ($r \gtrsim 1\text{Mpc}$)

■ **problems on smaller scales ($r < 1\text{Mpc}$)**

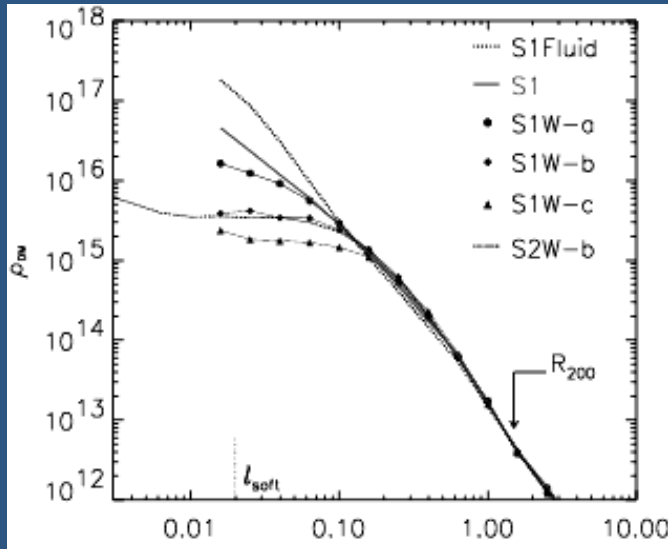
LSB rotation curves, soft core in CL0024+1624, prediction of a factor of ten more subhalos than observed in the Local Group

- Required scattering cross section for self-interacting dark matter

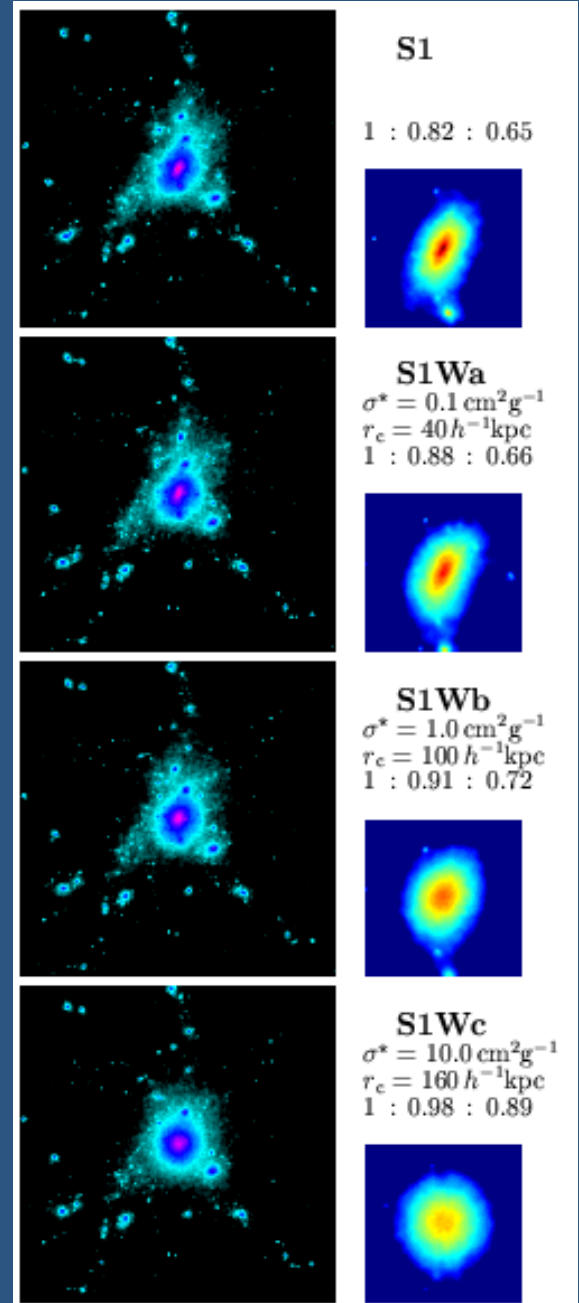
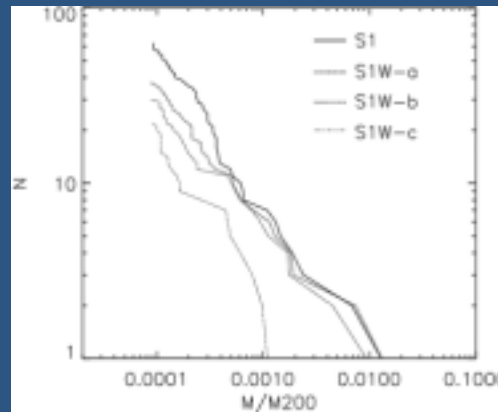
$$(mn) \frac{\sigma}{m} \ell = 1 \quad \Rightarrow \quad \frac{\sigma}{m} = 2\text{cm}^2 / \text{g} \left(\frac{10^4 \rho_{\text{crit}}}{\rho_{\text{center,cl}}} \right) \left(\frac{1\text{Mpc}}{\ell} \right)$$

Collisional Dark Matter

- σ では、中心のカスプはより強くなる
- $\sigma/m \sim 1 \text{ cm}^2/\text{g}$ 程度の相互作用があれば、中心部のカスプがなくなりコアが形成される一方、ハローはほぼ球対称となる



Yoshida et al.
(2000)



Constraining halo central density profiles with gravitational lensing

■ **Statistics of QSO multiple images**

(Wyithe, Turner & Spergel 2001; Keeton & Madau 2001; Li & Ostriker 2001; Takahashi & Chiba 2001)

■ **Arc statistics of clusters of galaxies**

(Bartelmann et al. 1998; Molikawa & Hattori 2001; Oguri, Taruya + YS 2001, Oguri, Lee + YS 2003)

■ **Time-delay statistics of QSO multiple images**

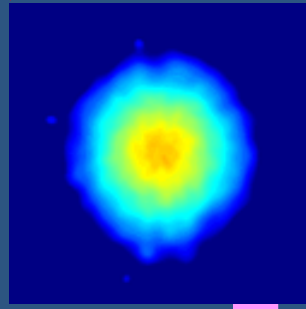
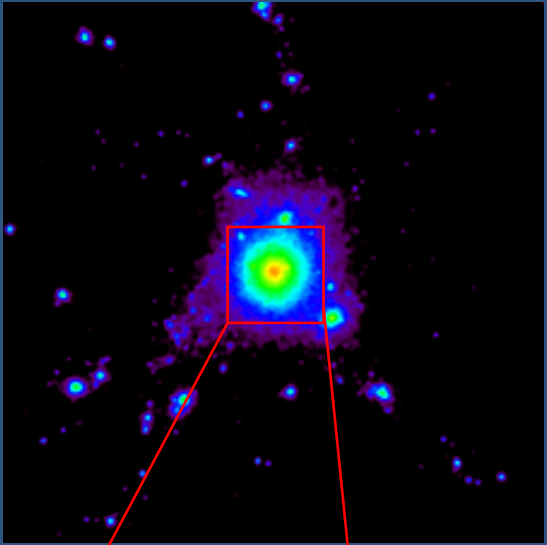
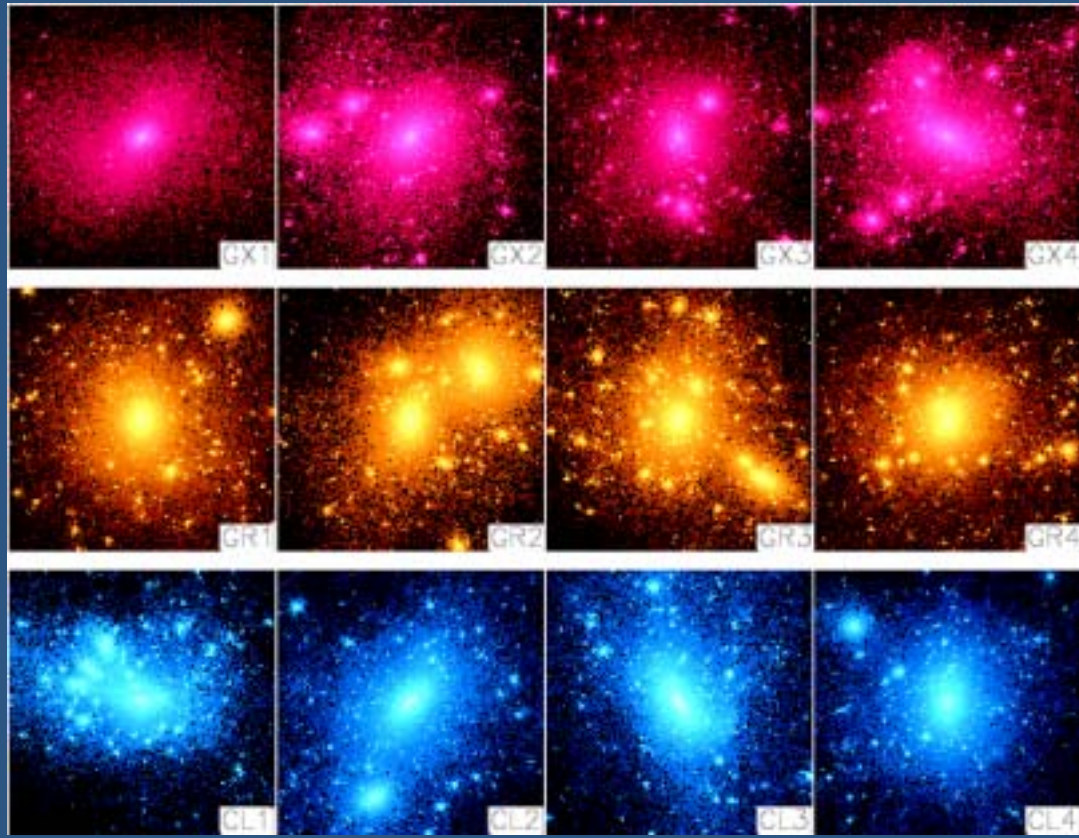
(Oguri, Taruya, YS + Turner 2002)

generally favor a steep cusp (~ -1.5)

Are Dark Halos Spherical?

Collisionless CDM: **NO**

Jing & Suto (2000) 



Yoshida et al. (2000)

Collisional CDM: **YES**

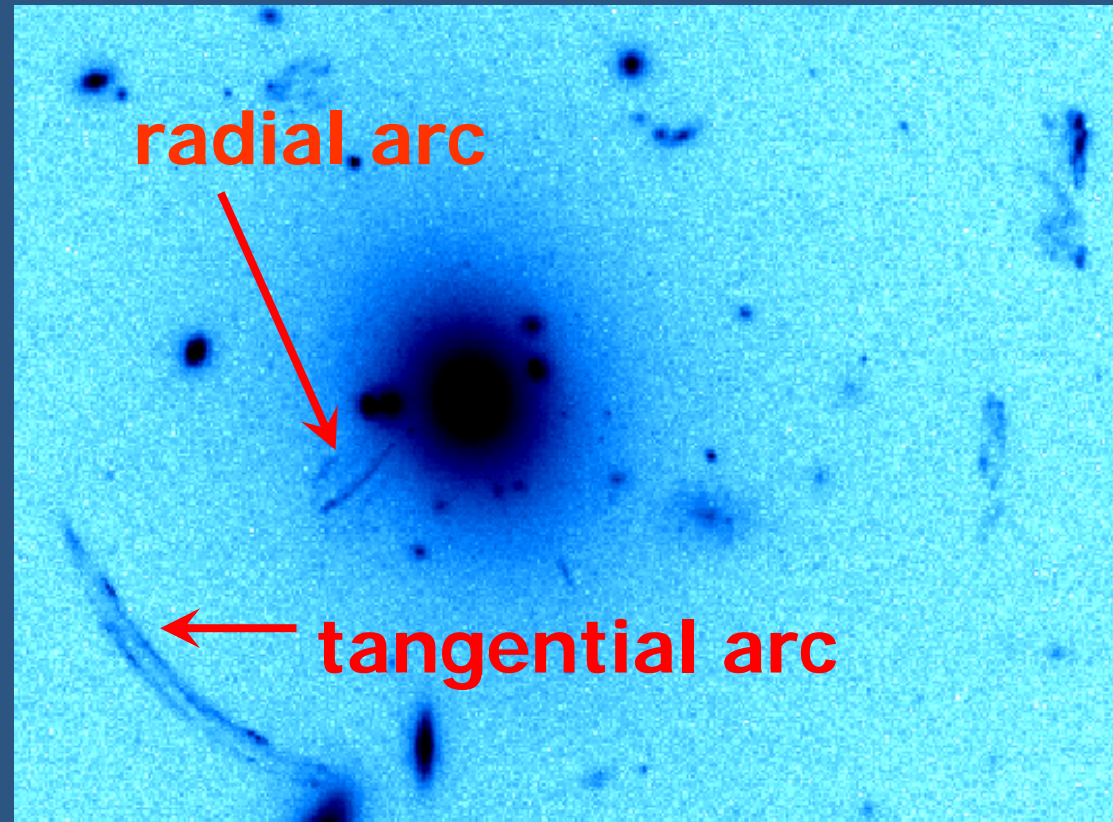
Lensed Arcs in Galaxy Clusters

Cluster of galaxies distort the images of background galaxies by gravitational lensing



(lensed) arcs

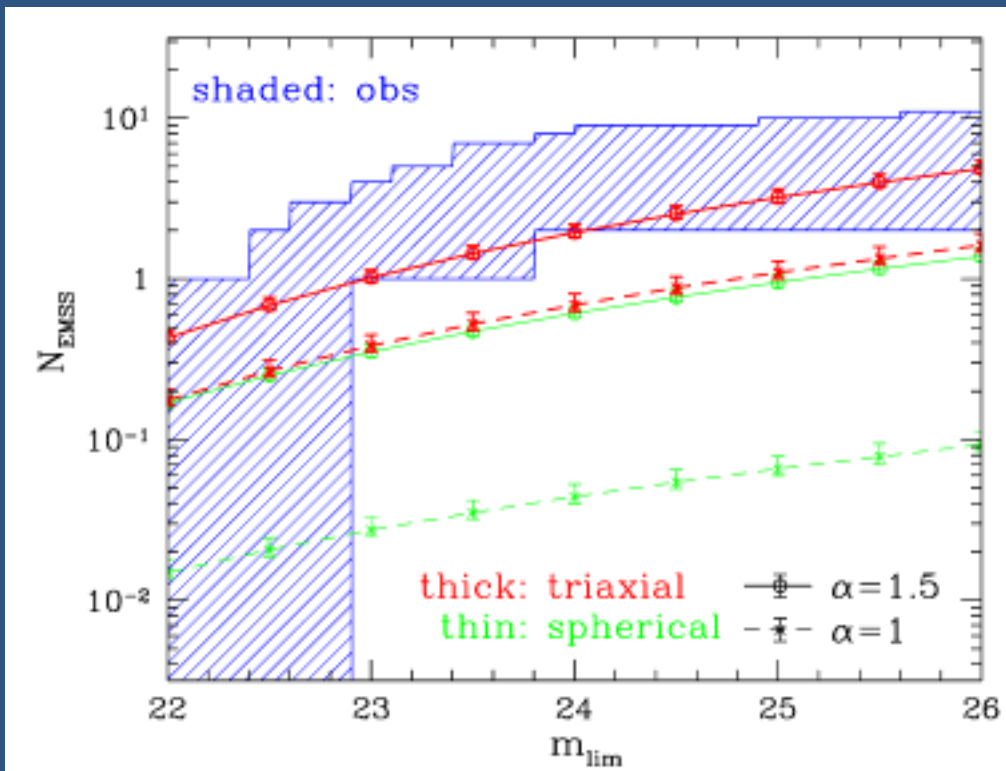
~30 giant arcs are observed so far



Hammer et al. (1997)

Comparison with observed statistics

Previous model predictions are known to be significantly smaller than the observed number of lensed arcs (Luppino et al. 1999)

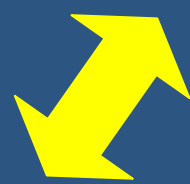


More realistic modeling of dark halos from simulations (inner slope of $\alpha=1.5$ and non-sphericity) reproduces the observed frequency of arcs.

(Oguri, Lee + YS 2003)

密度プロファイル研究の現状

観測
平坦なコアが存在？



理論
初期条件に依存？



シミュレーション
中心で-1.5乗のカスプ？

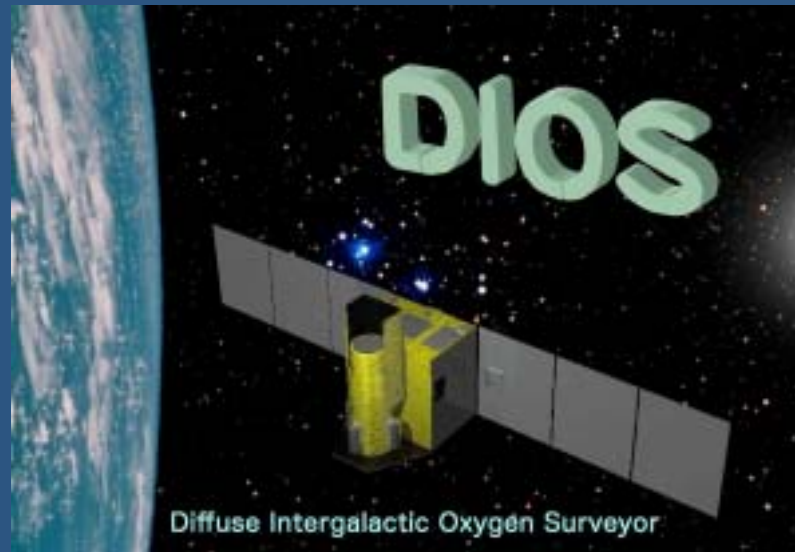
- 観測、シミュレーション、理論がすべて不整合
⇒ さらなる検証が必要！

冷たい暗黒物質モデルの危機？

- **Observations favor the presence of core rather than cusp**
 - still controversial, but ...
 - Rotation curves of low-surface brightness galaxies
 - Cluster mass profile from gravitational lensing
- **Cold dark matter is really collisionless ?**
 - Self-interacting dark matter
(Spergel & Steinhardt 1999)
- **Other hydrodynamic/radiative processes ?**
 - Supernova feedback
 - Bar-driven core formation (Weinberg & Katz 2001)
 - ...

Part 3:

DIOS衛星によるダークバリオン探査 (Diffuse Intergalactic Oxygen Surveyor)



Where are the baryons ?

cosmic baryon budget

Fukugita, Hogan & Peebles: ApJ 503 (1998) 518

$$\Omega_{star} + \Omega_{HI} + \Omega_{H_2} + \Omega_{hot\ X-ray} = 0.0068^{+0.0041}_{-0.0030} \quad vs \quad \Omega_{BBN} = 0.04 \quad (h = 0.7)$$

Component	Central	Maximum	Minimum	Grade ^a
Observed at $z \approx 0$				
1. Stars in spheroids	0.0026 h_{70}^{-1}	0.0043 h_{70}^{-1}	0.0014 h_{70}^{-1}	A
2. Stars in disks	0.00086 h_{70}^{-1}	0.00129 h_{70}^{-1}	0.00051 h_{70}^{-1}	A-
3. Stars in irregulars	0.000069 h_{70}^{-1}	0.000116 h_{70}^{-1}	0.000033 h_{70}^{-1}	B
4. Neutral atomic gas	0.00033 h_{70}^{-1}	0.00041 h_{70}^{-1}	0.00025 h_{70}^{-1}	A
5. Molecular gas	0.00030 h_{70}^{-1}	0.00037 h_{70}^{-1}	0.00023 h_{70}^{-1}	A-
6. Plasma in clusters	0.0026 $h_{70}^{-1.5}$	0.0044 $h_{70}^{-1.5}$	0.0014 $h_{70}^{-1.5}$	A
7a. Warm plasma in groups	0.0056 $h_{70}^{-1.5}$	0.0115 $h_{70}^{-1.5}$	0.0029 $h_{70}^{-1.5}$	B
7b. Cool plasma	0.002 h_{70}^{-1}	0.003 h_{70}^{-1}	0.0007 h_{70}^{-1}	C
7'. Plasma in groups	0.014 h_{70}^{-1}	0.030 h_{70}^{-1}	0.0072 h_{70}^{-1}	B
8. Sum (at $h = 70$ and $z \simeq 0$)	0.021	0.041	0.007	...

- The observed baryons in the present universe amount merely to (10 ~ 30) % of the big-bang nucleosynthesis prediction and WMAP value

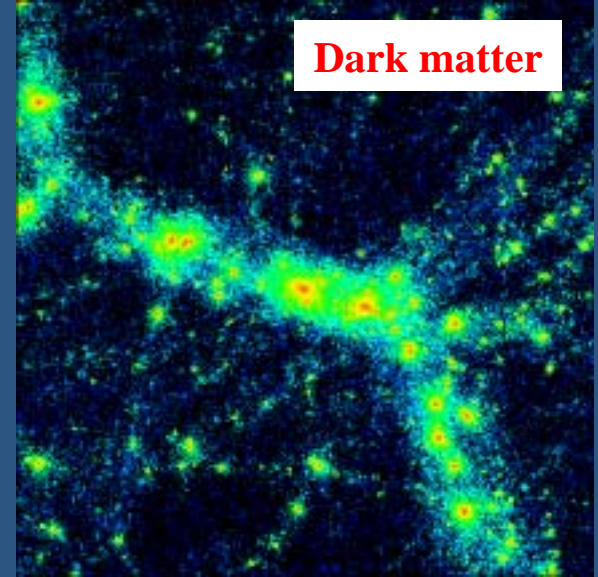
A cluster region in SPH simulation

A $(30h^{-1}\text{Mpc})^3$ box
around a massive
cluster at $z=0$
CDM SPH
simulation
(Yoshikawa et al. 2001)

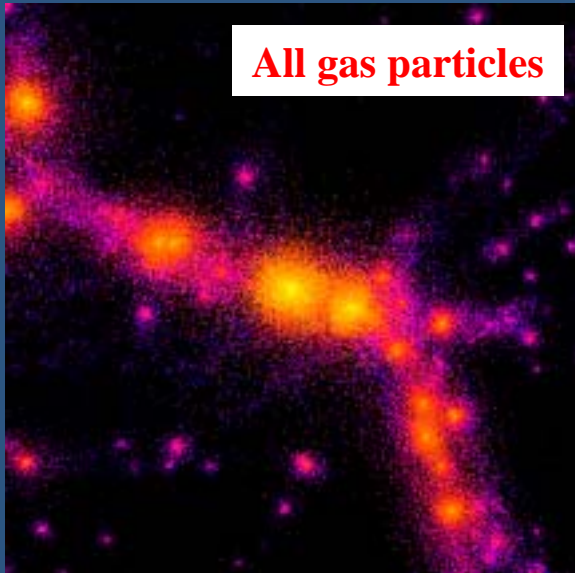
Galaxy (cold clump)



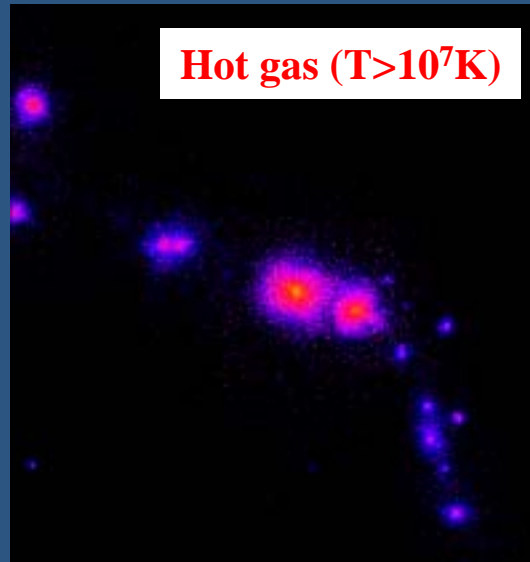
Dark matter



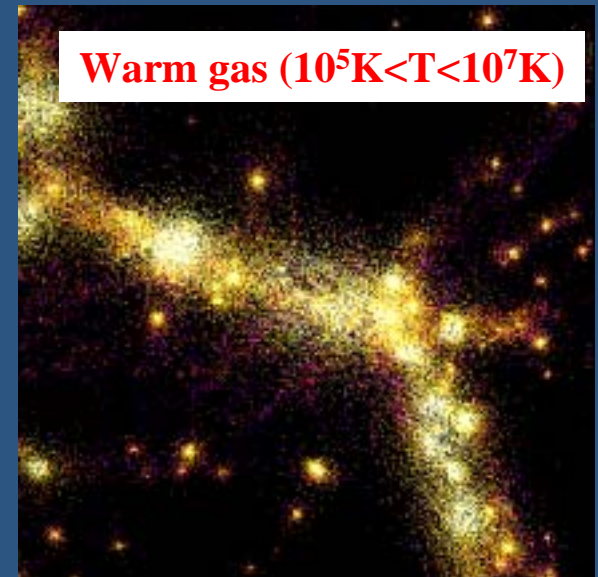
All gas particles



Hot gas ($T > 10^7\text{K}$)



Warm gas ($10^5\text{K} < T < 10^7\text{K}$)



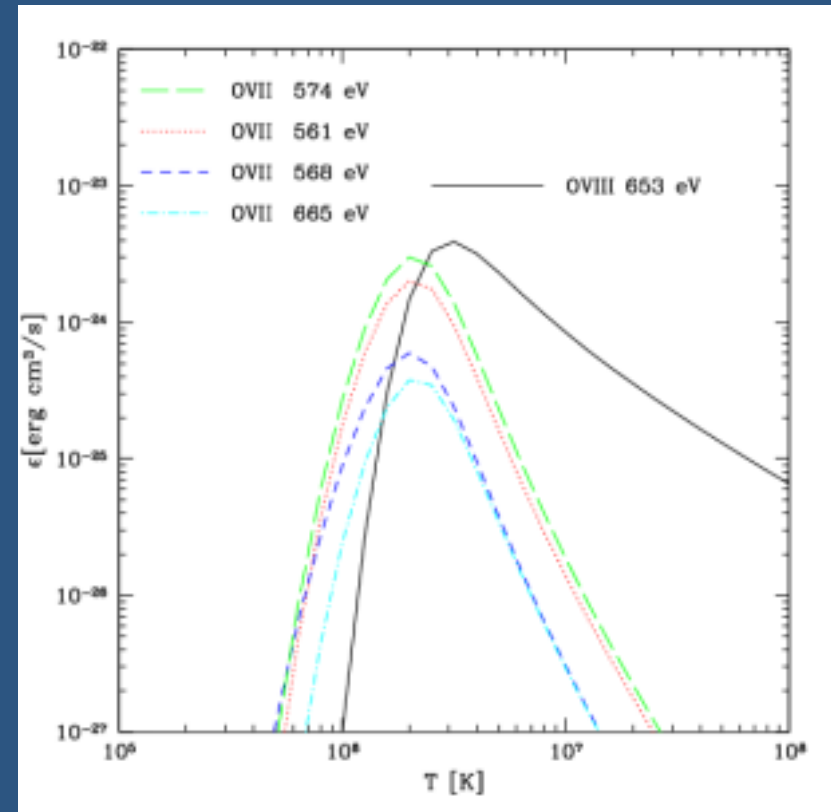
WHIM as missing cosmic baryons

- ~ 40% of the total cosmic baryons may exist as **Warm-Hot Intergalactic Medium (WHIM)** with $10^5\text{K} < T < 10^7\text{K}$
- **WHIM is supposed to distribute diffusely along filamentary structures** connecting nearby clusters/ groups of galaxies
- **Direct detection of WHIM is difficult**
 - OVI absorption line systems in UV (1032Å, 1038Å doublets)
 - OVII (574.0 eV) and OVIII (653.6 eV) absorption line systems in X-ray spectra of background QSOs
 - Bumpy features in Soft X-ray background spectrum

Emission lines of Oxygen in WHIM

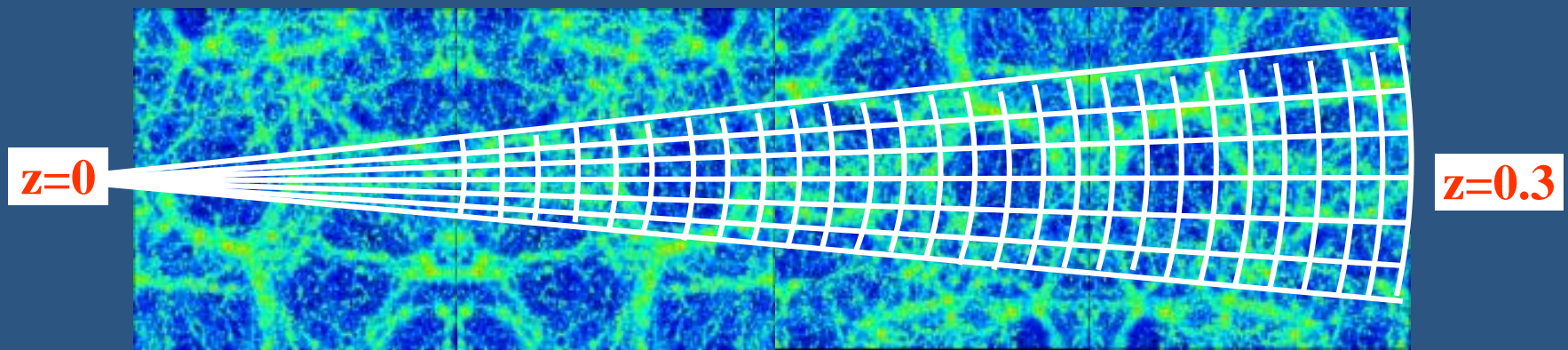
OvII (561eV, 568eV, 574eV, 665eV) , OvIII (653eV)

- **Why oxygen emission lines ?**
 - Most abundant other than H and He
 - Good tracers of gas around $T=10^6 \sim 10^7$ K
 - No other prominent lines in $E=500-660\text{eV}$
 - Not restricted to regions towards background QSOs



systematic WHIM survey

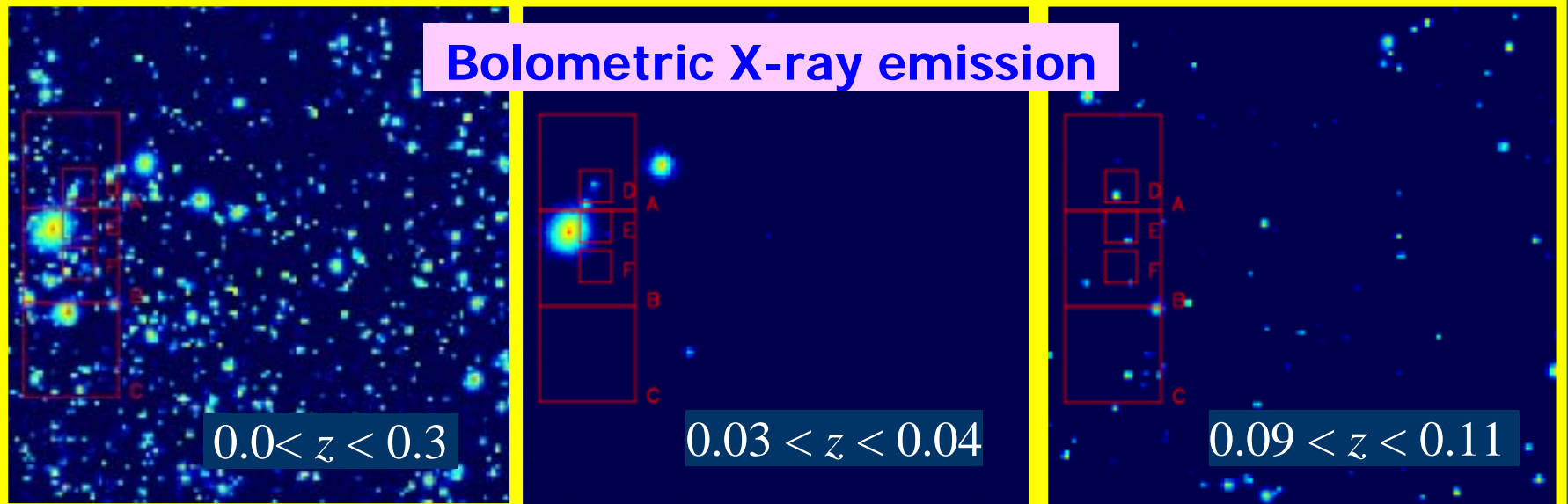
Light-cone output from simulation



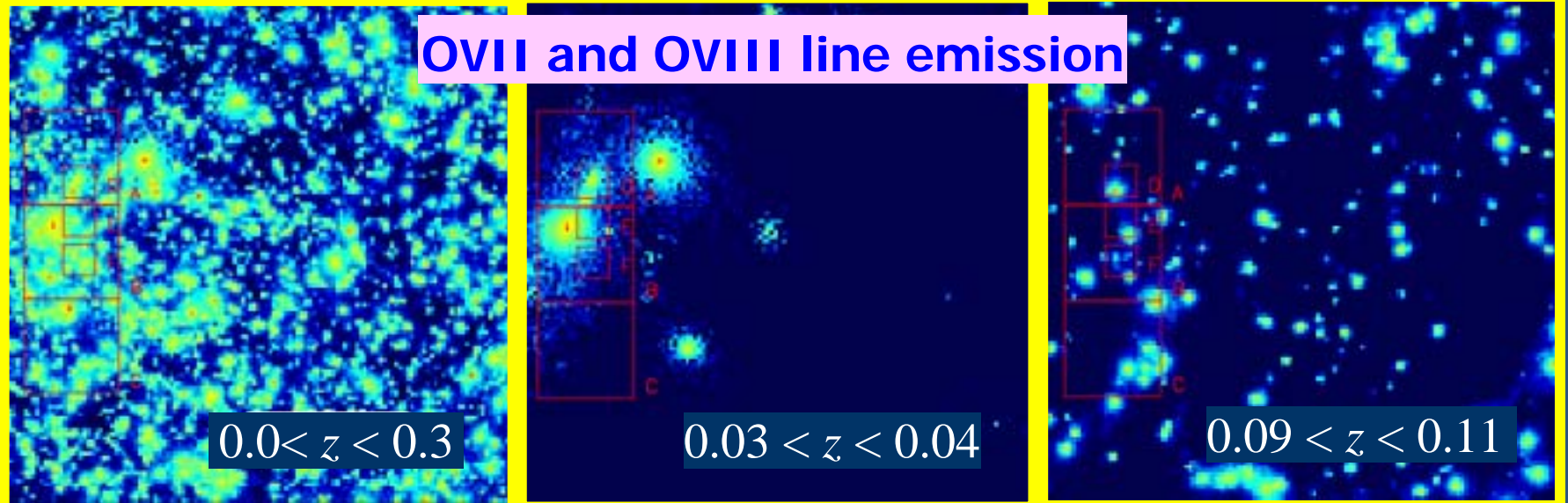
- **Cosmological SPH simulation** in $\Omega_m=0.3$, $\Omega_\Lambda=0.7$, $\sigma_8=1.0$, and $h=0.7$ CDM with $N=128^3$ each for DM and gas (Yoshikawa, Taruya, Jing, & Suto 2001)
- **Light-cone output from $z=0.3$ to $z=0$** by stacking 11 simulation cubes of $(75h^{-1}\text{Mpc})^3$ at different z
- **$5^\circ \times 5^\circ$ FOV mock data** in 64×64 grids on the sky
- 128 bins along the redshift direction ($\Delta z=0.3/128$)

Surface brightness on the sky

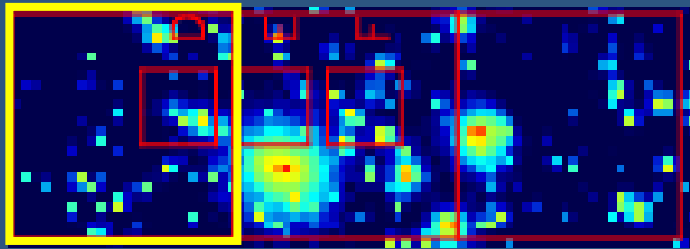
Bolometric X-ray emission



OVII and OVIII line emission



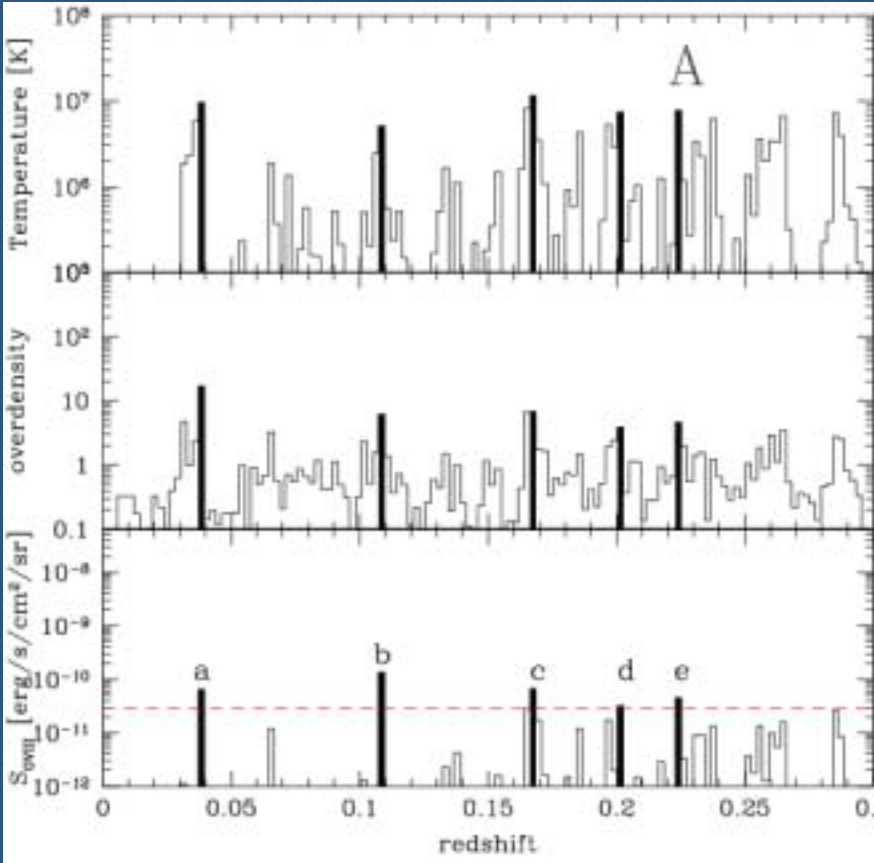
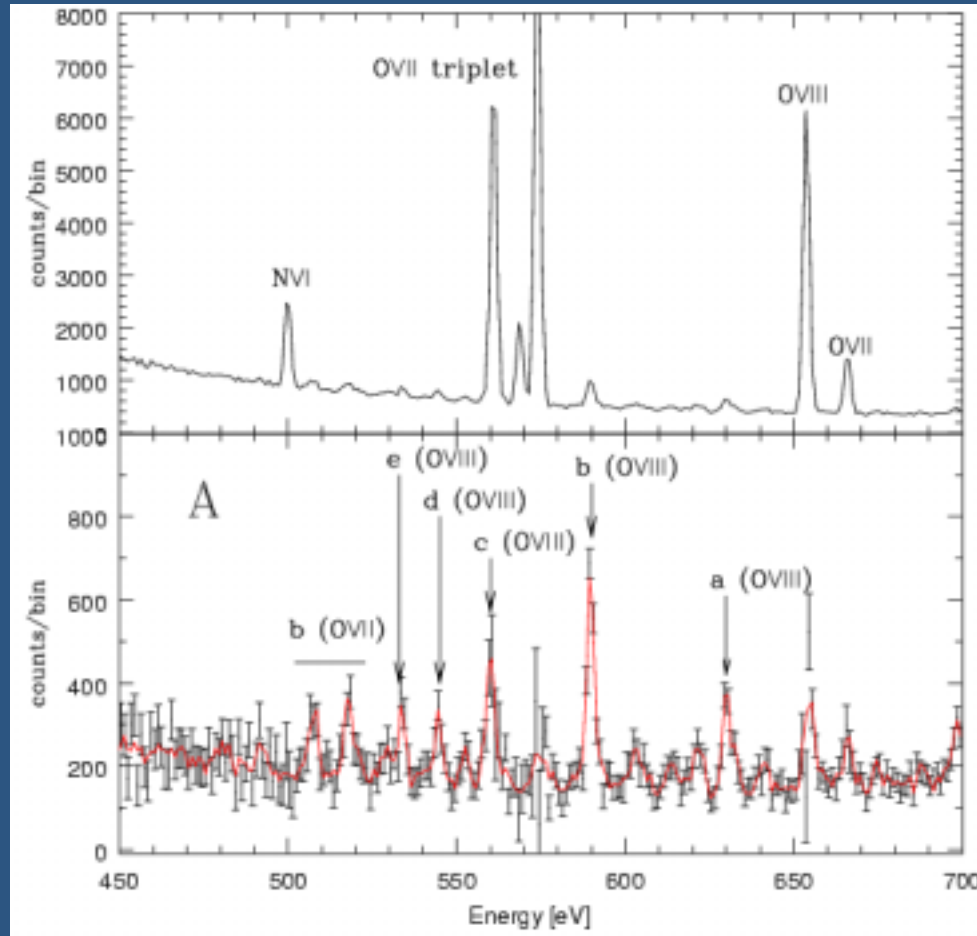
Simulated spectra: region A



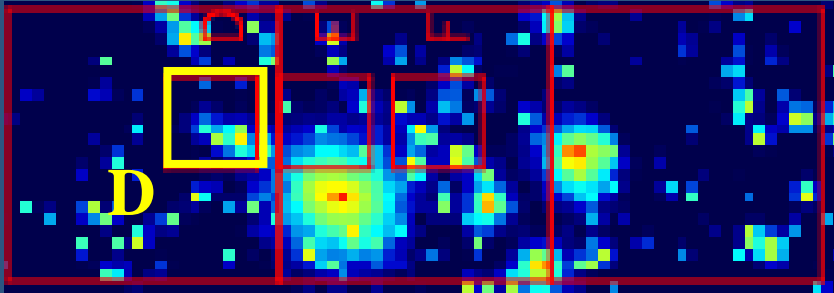
A

$$0.94^\circ \times 0.94^\circ = 0.88 \text{ deg}^2$$

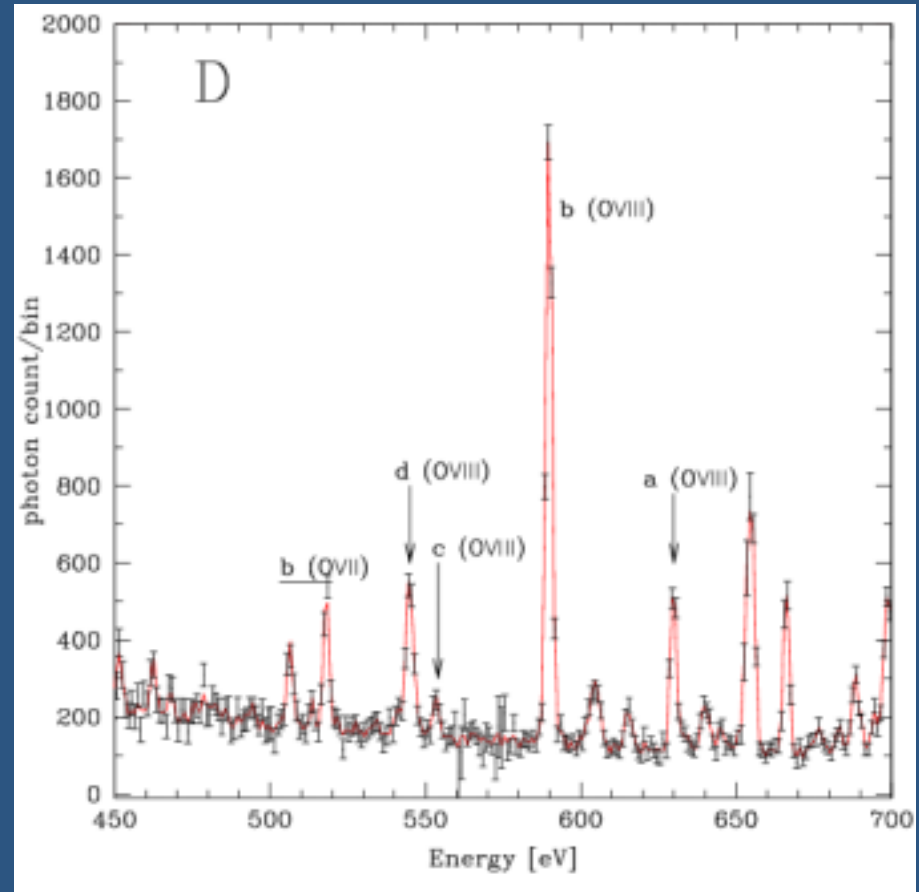
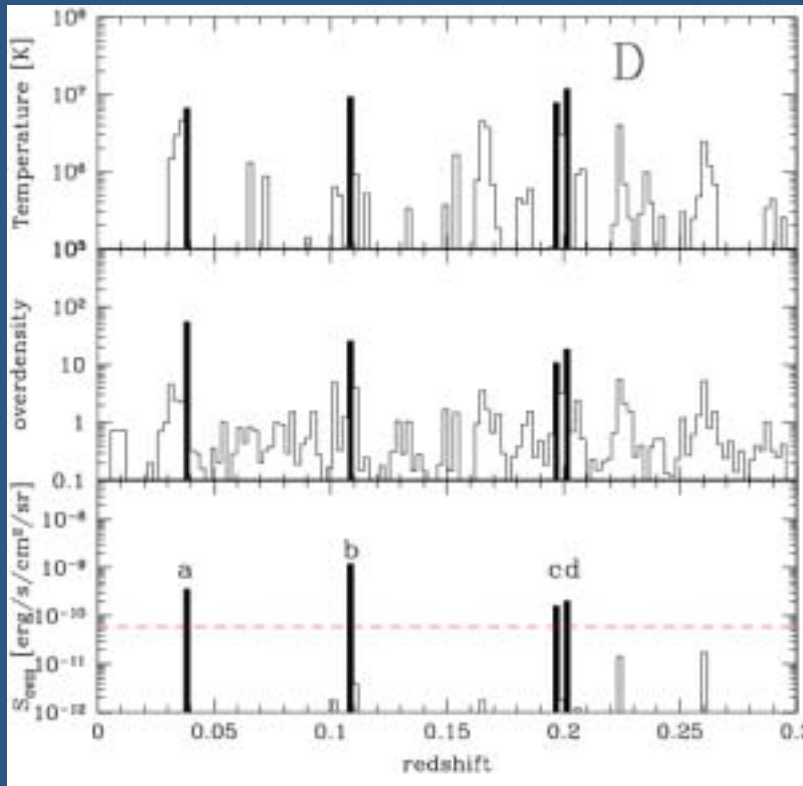
$$T_{\text{exposure}} = 3 \times 10^5 \text{ sec}$$



Simulated spectra: region D



$19' \times 19' = 0.098 \text{ deg}^2$
 $T_{\text{exposure}} = 10^6 \text{ sec}$



Detectability of Warm-Hot Intergalactic Medium via Oxygen emission lines

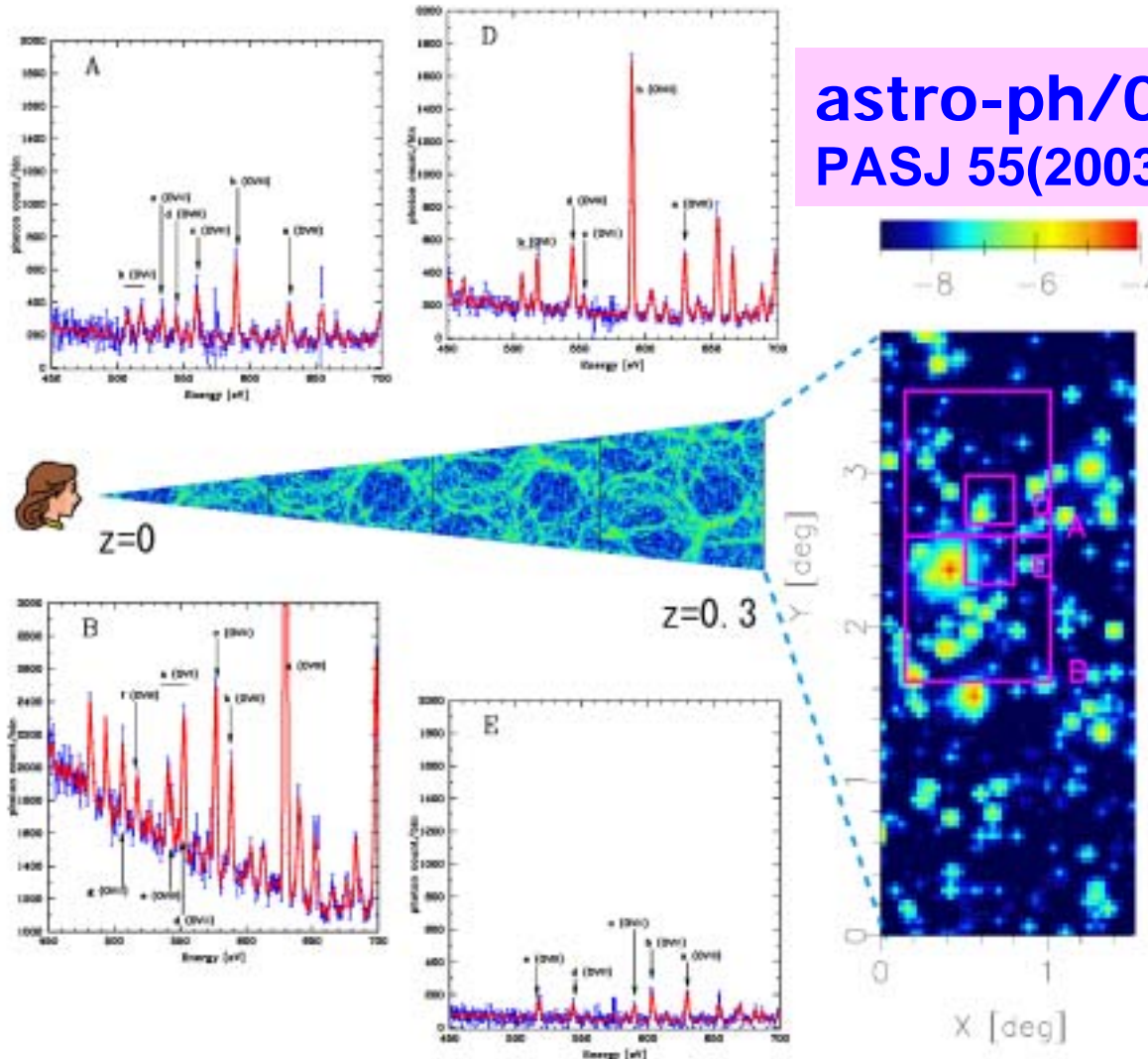
- Mock spectra from cosmological SPH simulation
- **With our proposed mission (20-30) percent of the total cosmic baryons will be detected via Oxygen emission lines** in principle.
 - $\Delta E = 2\text{eV}$, $S_{\text{eff}} \Omega = 100 [\text{cm}^2 \text{deg}^2]$
 - flux limit = $6 \times 10^{-11} [\text{erg/s/cm}^2/\text{str}]$
- Things remain to be checked
 - Validity of the collisional ionization equilibrium ?
 - How to properly identify the oxygen lines from the background/noises in reality ?



DIOS: Japanese proposal of a dedicated X-ray mission to search for missing baryons



astro-ph/0303281
PASJ 55(2003) 879-890



Univ of Tokyo:

K. Yoshikawa

Y. Suto

ISAS:

N. Yamasaki

K. Mitsuda

Tokyo Metropolitan Univ.:

T. Ohashi

Nagoya Univ.:

Y. Tawara

A. Furuzawa

(Diffuse Intergalactic Oxygen Surveyor)

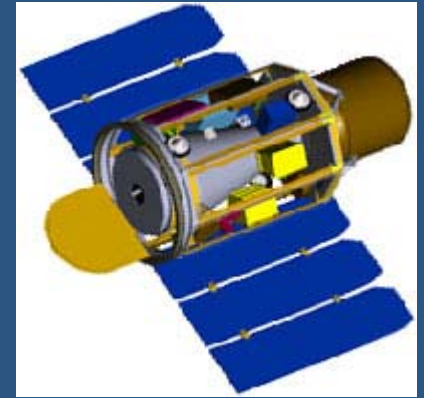
DIOS: Diffuse Intergalactic Oxygen Surveyor

A Japanese proposal of a dedicated X-ray mission to search for missing baryons



- A dedicated satellite with cost < 40M USD to fill the gap between Astro-E2 (2005) and NeXT (2010?). Launch at Japan in 2009 (?).
- Unprecedented energy spectral resolution $\Delta E=2\text{eV}$ in soft X-ray band (0.1-1keV)
- Aim at detection of (20-30) percent of the total cosmic baryons via Oxygen emission lines
 - $\Delta E=2\text{eV}$, $S_{\text{eff}} \Omega=100 [\text{cm}^2 \text{deg}^2]$
 - flux limit = $6 \times 10^{-11} [\text{erg/s/cm}^2/\text{str}]$
- PI: Takaya Ohashi (Tokyo Metropolitan Univ.)

MBE: a competing proposal



- PI: Wilt Sanders (UW-Madison SSEC)
- X-Ray Calorimeter Telescope Development
 - UW-Madison, NASA/GSFC, Lockheed-Martin
- Spacecraft: Spectrum Astro SA-200S Bus
- Time schedule: the concept study start is in November 2003, and launch is scheduled for August 2007.
- Cost: \$118.96M in FY2003 USD

UW-Madison Space Science and Engineering Center

Missing Baryon Explorer

*Surveys of the Low Energy X-Ray Diffuse Background
to Complete Our Picture of the Universe*

<http://www.ssec.wisc.edu/baryons/index.html>

まとめと今後の展望

- 冷たいダークマターを仮定した構造形成モデルは0次近似としては驚くべき成功を収めている。
 - $\Omega_m \sim 0.3, \Omega_\Lambda \sim 0.7, h \sim 0.7$ $\Omega_m = 0.27 \pm 0.04, \Omega_\Lambda = 0.73 \pm 0.04, h = 0.71 \pm 0.04$ の時代へ
- 天文学の今後の問題：
 - 第一世代の天体形成と宇宙再加熱モデル
 - ダークマターと“ルミナス天体”との関係
 - 小スケールでのCDMの難点(?)
- 物理学に残された本質的課題：
 - ダークマターの直接検出
 - ダークエネルギー(宇宙定数)は本当にあるか